

図7 運動型細胞の時刻による出現推移

### (2) 運動型細胞観察試験2 (光強度による出現推移)

光強度と運動型細胞出現推移との関係を図8に示した。各区とも照明開始1時間後の9:00に出現が観察され、3時間後の11:00に出現率はピークに達した。5時間後の13:00には減少し始め、11時間後の19:00には運動型細胞は殆ど消滅し静止型細胞のみとなった。翌日、照明再開始8:00の5時間後13:00には再び運動型細胞の出現率は高くなった。出現推移は3区共に同様の結果となったが、130  $\mu\text{mol}/\text{m}^2/\text{s}$  区の初日の出現率は他の2区に比べて低い値を示した。

### (3) 運動型細胞観察試験3 (培養履歴による出現推移)

培養履歴と運動型細胞出現推移との関係を図9に示した。各区とも照明開始1時間後の9:00に出現が観察され、3~5時間後の11:00~13:00に出現率はピークに達し、その後減少し始め11時間後の19:00には運動型細胞は殆ど消滅し静止型細胞のみとなった。翌日、照明再開始8:00の3~5時間後11:00~13:00には再び運動型細胞の出現率は高くなった。出現推移は3区共に同様の結果となったが、保存培養区の初日の出現率は他の2区に比べて低く、一方継代培養区は初代培養区と遜色ない出現率を示した。

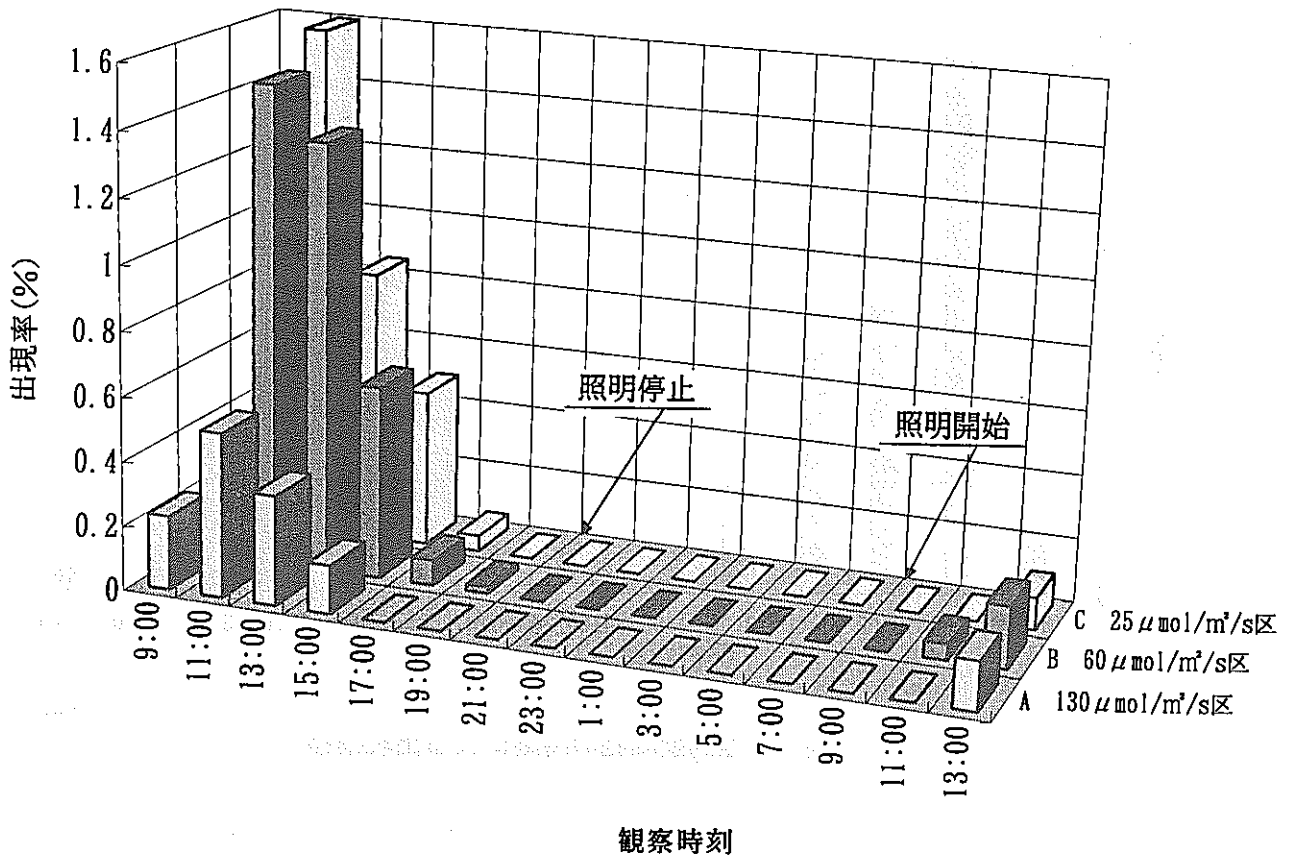


図8 光強度と運動型細胞出現推移との関係

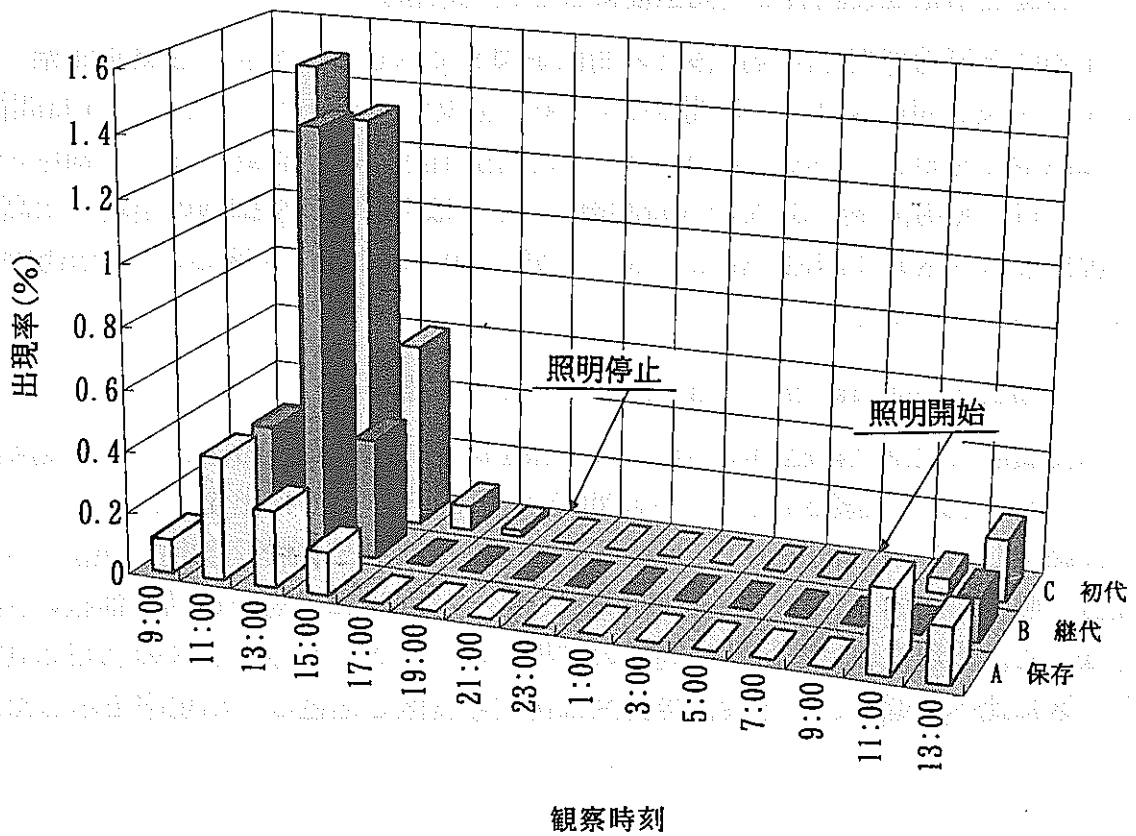


図9 培養履歴と運動型細胞出現推移との関係